

京都大学工学部 正員 工博 小西一郎
 京都大学工学部 正員 工博 白石成人
 京都大学工学部 正員 工修 宇都宮英彦
 京都大学大学院 学生員 ○松本 勝

§1. まえがき

構造物の耐風安定性を考える上で、変動風に対する構造物の応答を知ることは、現在、多くの研究者の注目するところである。Scanlan や Saberian によれば、構造物の応答(たわみや、ねじれ角等)に対する揚力およびトルクモーメントは、

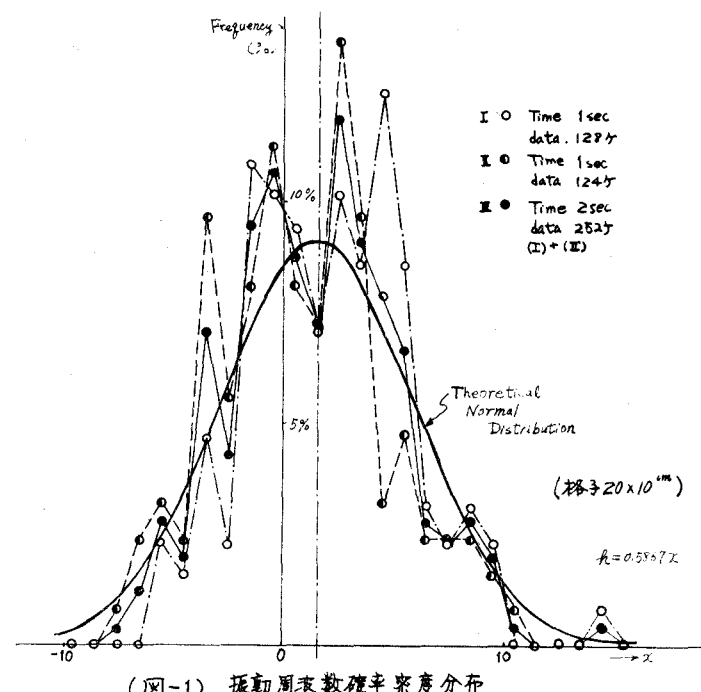
$$L(t) = H_1^* \dot{\alpha} + H_2^* \ddot{\alpha} + H_3^* \alpha + f(t) \quad (1)$$

$$M(t) = A_1^* \dot{\alpha} + A_2^* \ddot{\alpha} + A_3^* \alpha + g(t) \quad (2)$$

のように与えられ、この形は、これまでの線型理論で空気の慣性項を無視した場合の一般式である。ここで、式(1)および(2)において、 H_1^* , H_2^* , H_3^* , A_1^* , A_2^* および A_3^* の各係数を有する項を、平均風速により生ずる空気力と仮定すれば、これらの値は、定常風で行なった実験や、§2で説明する方法により決定すること⁽¹⁾ができる。 $f(t)$ および $g(t)$ は非線型の項をも含めたその他の要素を有する空気力とする。さて線型構造系に関する Input-Output の関係を、(Random Process に従う Input に対する場合を)考えるとき、この Process が、

ガウス型であれば、その取り扱いは極めて簡単化される。著者らはさきに、風洞内に格子を設置し、これより変動風の Power Spectral Density、および自己相関係数を求めたが、この結果、風洞内で発生した変動風は Narrow-Band Random Noise の傾向にあり、振動周波数に対する Power はほぼ一様であり、その確率密度関数を正規分布と考えることができるようである。(図-1) 従って、本研究では、ガウス型 Random Process として式(1), (2)に対する系の解析を試みた。

トラス型部分模型および



(図-1) 振動周波数確率密度分布

Plate型部分模型について、たかみ、ねじれ2自由度振動実験を行ない、そのResponseより、たかみおよびねじれの Spectral Densityを求める。また運動系のたかみおよびねじれに対する運動才構式より、Frequency Response Functionを求める。従って、 $\phi(t)$ および $\theta(t)$ の Spectral Densityが求まることで、 $f(t)$ および $g(t)$ の振動数特性を決定することができる。この方法については§3で説明する。次に、 $f(t)$ および $g(t)$ の大きさを決定するために、間接アナログシミュレーションを用いる。つまり、風洞で求めた Responseとアナログより求めた Response が一致するよう $f(t)$ と $g(t)$ の値を見つければよい。以上のようにして、 $\phi(t)$ および $\theta(t)$ の形が求めれば、アナログシミュレーションによって、式(1)および(2)の各係数($H_1^*, H_2^*, H_3^*, A_1^*, A_2^*, A_3^*$)が、部分模型の耐風安定性に及ぼす影響を知ることができる。

§2 擬定常空気力およびTheodorsen関数より求めた各係数

⁽³⁾
擬定常空気力は、

$$L = \frac{\rho U^2}{2} C_L \frac{dC_L}{dx} \left[\alpha + \frac{1}{\pi} \frac{\partial \alpha}{\partial x} + \frac{c}{4} \frac{1}{U} \frac{\partial \alpha}{\partial t} \right] \quad (3)$$

$$M = \frac{\rho U^2}{2} C_L^2 \left\{ -\frac{c\pi}{8U} \frac{\partial \alpha}{\partial x} + \frac{1}{4} \frac{dC_L}{dx} \left[\alpha + \frac{1}{\pi} \frac{\partial \alpha}{\partial x} + \frac{c}{4} \frac{1}{U} \frac{\partial \alpha}{\partial t} \right] \right\} \quad (4)$$

従て、各係数は次のように表わされる。

$$\left. \begin{aligned} H_1 &= -\frac{\rho C_L}{2m} \frac{dC_L}{dx} \cdot U, \quad H_2 = -\frac{\rho C_L^2}{8m} \frac{dC_L}{dx} \cdot U, \quad H_3 = -\frac{\rho C_L}{2m} \frac{dC_L}{dx} \cdot U^2 \\ A_1 &= \frac{\rho C_L^2}{8I_p} \frac{dC_L}{dx} \cdot U, \quad A_2 = \frac{\rho C_L^3}{32} \left(\frac{dC_L}{dx} - 2\pi \right) U, \quad A_3 = \frac{\rho C_L^2}{8I_p} \frac{dC_L}{dx} \cdot U^2 \end{aligned} \right\} \quad (5)$$

一方、Theodorsen関数より求めた各係数は、次のように表わされる。

$$\left. \begin{aligned} H_1 &= -\frac{\pi \rho C_L}{m} U \sqrt{F^2(k) + G^2(k)}, & A_1 &= \frac{\pi \rho C_L^2}{4I_p} U \sqrt{F^2(k) + G^2(k)} \\ H_2 &= -\frac{\pi \rho C_L^2}{4m} U (1 + \sqrt{F^2(k) + G^2(k)}), & A_2 &= \frac{\pi \rho C_L^3}{16I_p} U (\sqrt{F^2(k) + G^2(k)} - 1) \\ H_3 &= -\frac{\pi \rho C_L}{m} U^2 \sqrt{F^2(k) + G^2(k)}, & A_3 &= \frac{\pi \rho C_L^2}{4I_p} U^2 \sqrt{F^2(k) + G^2(k)} \end{aligned} \right\} \quad (6)$$

但し、 ρ : 空気密度、 U : 風速

α : 迎角、 C_L : 揚力係数、 m :

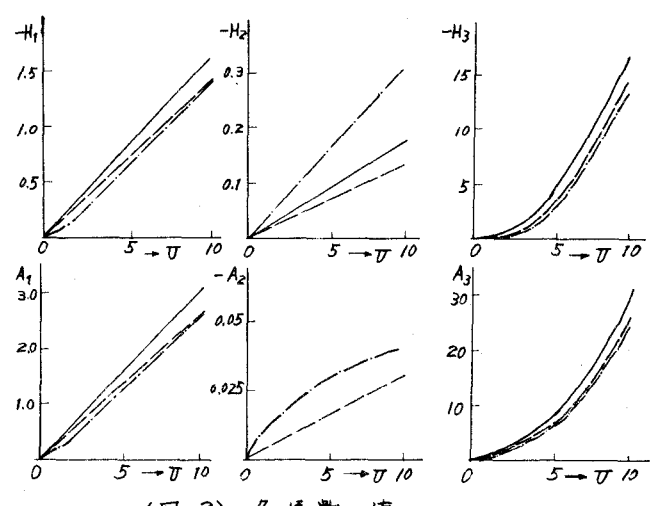
部分模型質量、 I_p : 部分模型質量慣性モーメント、 l : 部分模

型スパン長、 c : 部分模型幅員

$F(k)$: Theodorsen関数の実数部

$G(k)$: Theodorsen関数の虚数部

式(5)、(6)を用いて、Plate型部分模型について各係数を求めた結果を図-2に示す。但し、Plate型部分模型のDimensionは、次の値である。



(図-2) 各係数の値

$$\begin{cases} m = 0.686 \text{ (kg} \cdot \text{sec}^2/\text{m}) , & I_p = 2.645 \times 10^{-2} \text{ (kg} \cdot \text{m} \cdot \text{sec}^2) , & f = 0.125 \text{ (kg} \cdot \text{sec}^2/\text{m}^4) \\ C = 0.30 \text{ (m)} , & l = 0.94 \text{ (m)} , & \omega_h = 9.11 \text{ (sec}^{-1}) , & \omega_R = 9.24 \text{ (sec}^{-1}) \end{cases}$$

図-2において、実線は、 $\alpha_{\text{d}}/l=2\pi$ としたときの結果を表わし、破線は、 $\alpha_{\text{d}}/l=5.50$ としたときの結果を表わし、一点鎖線は、Theodorsen 関数による結果を表わす。

§ 3. $f(t)$ および $\psi g(t)$ の Spectral Density

系の運動方程式は、式(7), (8)で表わせる。

$$\begin{cases} \ddot{\theta} + 2\zeta_k \omega_k \dot{\theta} + \omega_k^2 \theta - H_1 \dot{\theta} - H_3 \theta = \frac{1}{m} f(t) \\ \ddot{\varphi} + 2\zeta_d \omega_d \dot{\varphi} + \omega_d^2 \varphi - A_1 \dot{\theta} - A_2 \dot{\varphi} - A_3 \theta = \frac{1}{I_p} g(t) \end{cases} \quad (7)$$

$$\theta = \frac{1}{2\pi} \int_{-\infty}^{\infty} F(\omega) e^{i\omega t} d\omega, \quad \varphi = \frac{1}{2\pi} \int_{-\infty}^{\infty} G(\omega) e^{i\omega t} d\omega \quad (8)$$

次に、 θ および φ を式(9)のようにあき、 $f(t)$ および $\psi g(t)$ をそれそれぞれ $I_p S(t)$, $I_d \delta(t)$ とおいて、両辺の Fourier 変換をとって、Frequency Response Function を求めると、式(10), (11), (12) のようになる。

$$|H_{\theta\theta}(w)|^2 = \left(\frac{I_p}{m}\right)^2 \left\{ \left(\frac{\Sigma_k}{\Omega_0}\right)^2 + \omega^2 \left(\frac{K_k}{\Omega_0}\right)^2 \right\} \quad (10)$$

$$|H_{\theta d}(w)|^2 = \left(\frac{I_d}{I_p}\right)^2 \left\{ \left(\frac{\Sigma_d}{\Omega_1}\right)^2 + \omega^2 \left(\frac{K_d}{\Omega_1}\right)^2 \right\} \quad (11)$$

$$|H_{d\theta}(w)|^2 = \frac{1}{(M_1^2 + \omega^2 M_2^2)^2} \left[\left\{ M_1 \left(\frac{I_p}{m} + \frac{I_d}{I_p} \frac{\Omega_2}{\Omega_1} \right) + M_2 \omega^2 \frac{I_p}{I_p} \frac{\Omega_1}{\Omega_2} \right\}^2 + \omega^2 \left\{ M_1 \frac{I_p}{I_p} \frac{\Omega_4}{\Omega_1} - M_2 \left(\frac{I_p}{m} + \frac{I_d}{I_p} \frac{\Omega_4}{\Omega_1} \right) \right\}^2 \right] \quad (12)$$

$$|H_{dd}(w)|^2 = \frac{1}{(M_1^2 + \omega^2 M_2^2)^2} \left[\left\{ \frac{\Sigma_d}{\Omega_1} \frac{I_d}{I_p} (M_1^2 + \omega^2 M_2^2) + \left(\frac{I_p}{m} + \frac{I_d}{I_p} \frac{\Omega_2}{\Omega_1} \right) (K_d M_1 + \Sigma_d M_2) \frac{A_1 \omega^2}{\Omega_1} + \frac{A_1 \omega^2}{\Omega_1} \frac{I_d}{I_p} \frac{\Omega_4}{\Omega_1} (\omega^2 K_d M_2 - \Sigma_d M_1) \right\}^2 + \omega^2 \left\{ \frac{A_1 \Sigma_d}{\Omega_1} \left(\frac{I_p}{m} + \frac{I_d}{I_p} \frac{\Omega_2}{\Omega_1} \right) M_1 + \omega^2 M_2 \frac{I_d}{I_p} \frac{\Omega_4}{\Omega_1} - \frac{I_d}{I_p} \frac{K_d}{\Omega_1} (M_1^2 + \omega^2 M_2^2) \right\}^2 \right] \quad (13)$$

$$\begin{cases} \Sigma_k = -\omega^2 + \omega_k^2, & K_k = 2\zeta_k \omega_k - H_1, & \Sigma_d = -\omega^2 + \omega_d^2 - A_3, & K_d = 2\zeta_d \omega_d - A_2 \\ \Omega_0 = \Sigma_k^2 + \omega^2 K_k^2, & \Omega_1 = \Sigma_d^2 + \omega^2 K_d^2, & \Omega_2 = H_2 \omega^2 K_d + H_3 \Sigma_d, & \Omega_4 = H_2 \Sigma_d - H_3 K_d \\ M_1 = \Sigma_k + A_1 \omega^2 \frac{\Omega_4}{\Omega_1}, & M_2 = K_k - \frac{A_1 \Omega_4}{\Omega_1} \end{cases}$$

たわみおよびねじれの Response a Spectral Density : $S_{\theta\theta}(w)$, $S_{\theta d}(w)$ と $f(t)$, $g(t)$ の Spectral Density : $\Phi_{\theta\theta}(t)$, $\Phi_{\theta d}(t)$ および上で求めた Frequency Response Function の関係は次式で表わされる。

$$\begin{cases} S_{\theta\theta}(w) \\ S_{\theta d}(w) \end{cases} = \begin{bmatrix} H_{\theta\theta}^2(w) & H_{\theta d}^2(w) \\ H_{\theta d}^2(w) & H_{dd}^2(w) \end{bmatrix} \begin{cases} \Phi_{\theta\theta}(w) \\ \Phi_{\theta d}(w) \end{cases} \quad (14)$$

式(14)を変形することによつて、 $\Phi_{\theta\theta}(w)$, $\Phi_{\theta d}(w)$ は、式(16)より求めることができることができる。

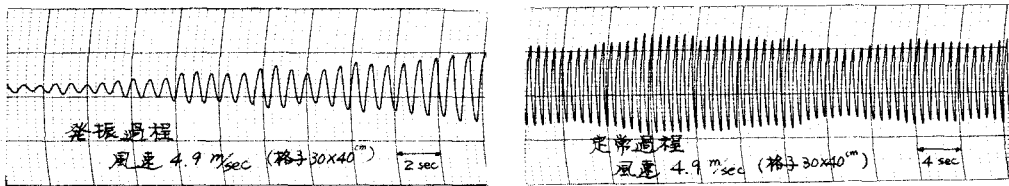
$$\begin{cases} \Phi_{\theta\theta}(w) \\ \Phi_{\theta d}(w) \end{cases} = \frac{1}{H_{\theta\theta}^2(w) H_{dd}^2(w) - H_{\theta d}^2(w) H_{\theta d}^2(w)} \begin{bmatrix} H_{dd}^2(w) & -H_{\theta d}^2(w) \\ H_{\theta d}^2(w) & -H_{\theta\theta}^2(w) \end{bmatrix} \begin{cases} S_{\theta\theta}(w) \\ S_{\theta d}(w) \end{cases} \quad (15)$$

一方、たわみに対する衝撃力 $I_{\theta\theta}$ とねじれに対する衝撃力 $I_{\theta d}$ の大きさの比は、次のようにして近似的に求めることができます。つまり、鉛直たわみの自由度振動およびねじれの自由度振動における衝撃力 $I_{\theta\theta}$, $I_{\theta d}$ によるそれぞれの Response は、

$$h(t) = \frac{I_k}{m} \sin\left(\sqrt{\omega_k^2 - \left(\frac{k_x}{2}\right)^2} \cdot t\right) \exp\left(-\frac{k_x}{2} \cdot t\right) \quad (16)$$

$$\alpha(t) = \frac{I_d}{I_p} \sin\left(\sqrt{\omega_d^2 + A_3 - \left(\frac{k_x}{2}\right)^2} \cdot t\right) \exp\left(-\frac{k_x}{2} \cdot t\right) \quad (17)$$

で表わされるから、たわみ h の自由度振動およびねじれ α の自由度振動に対する、風洞実験より求めた Response を、衝撃力 I_k , I_d による Response と考えることにより、近似的に I_k , I_d の大きさの比を求めることができる。トラス型部分模型についての 2 自由度振動実験による Response の実験データの 1 例を図-3 に示す。



(図-3) 2自由度振動 Response の 1 例

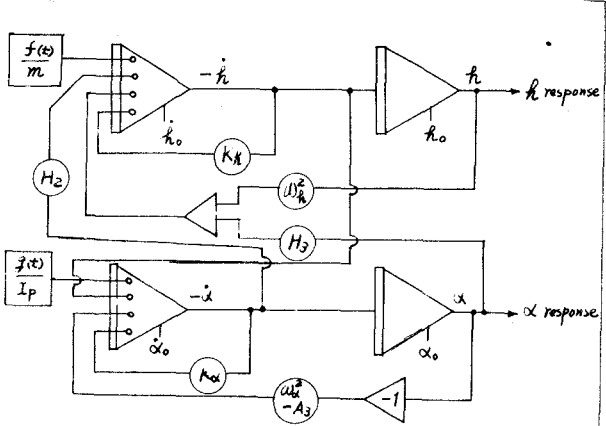
§4 アナログシミュレーションの利用⁽⁴⁾

§1 で述べたように、アナログシミュレーションによって $f(t)$ および $\dot{f}(t)$ の大きさを求めることができる。式(7), (8)で表わされる系の運動方程式のアナログプロック図を図-4 に示す。

この図で用いられている記号は、下記のとおりである。



この回路において、結線を適当にと



(図-4) アナログブロック図

りはすすことにより、また、各不テンショーラの値を変化させることによって、空気力の各係数 (H_1 , H_2 , H_3 , A_1 , A_2 , A_3) が系の安定性にどのような影響を及ぼすかを知ることができます。

参考文献

(1) A. Salzvari & R. H. Scanlan "Aerodynamic Instability of Suspension Bridges"

Journal of Engineering Mechanics Division, Proc. ASCE EM2, April 1968 pp489~519

(2) 順次43年度「関西支部年次学術講演概要」 土木学会関西支部 pp I-25-1~2

(3) Y. C. Fung "An Introduction to the Theory of Aeroelasticity" pp186~245 Wiley 1955

(4) R. H. MacNeal "Electric Circuit Analogies for Elastic Structures" Wiley 1962